

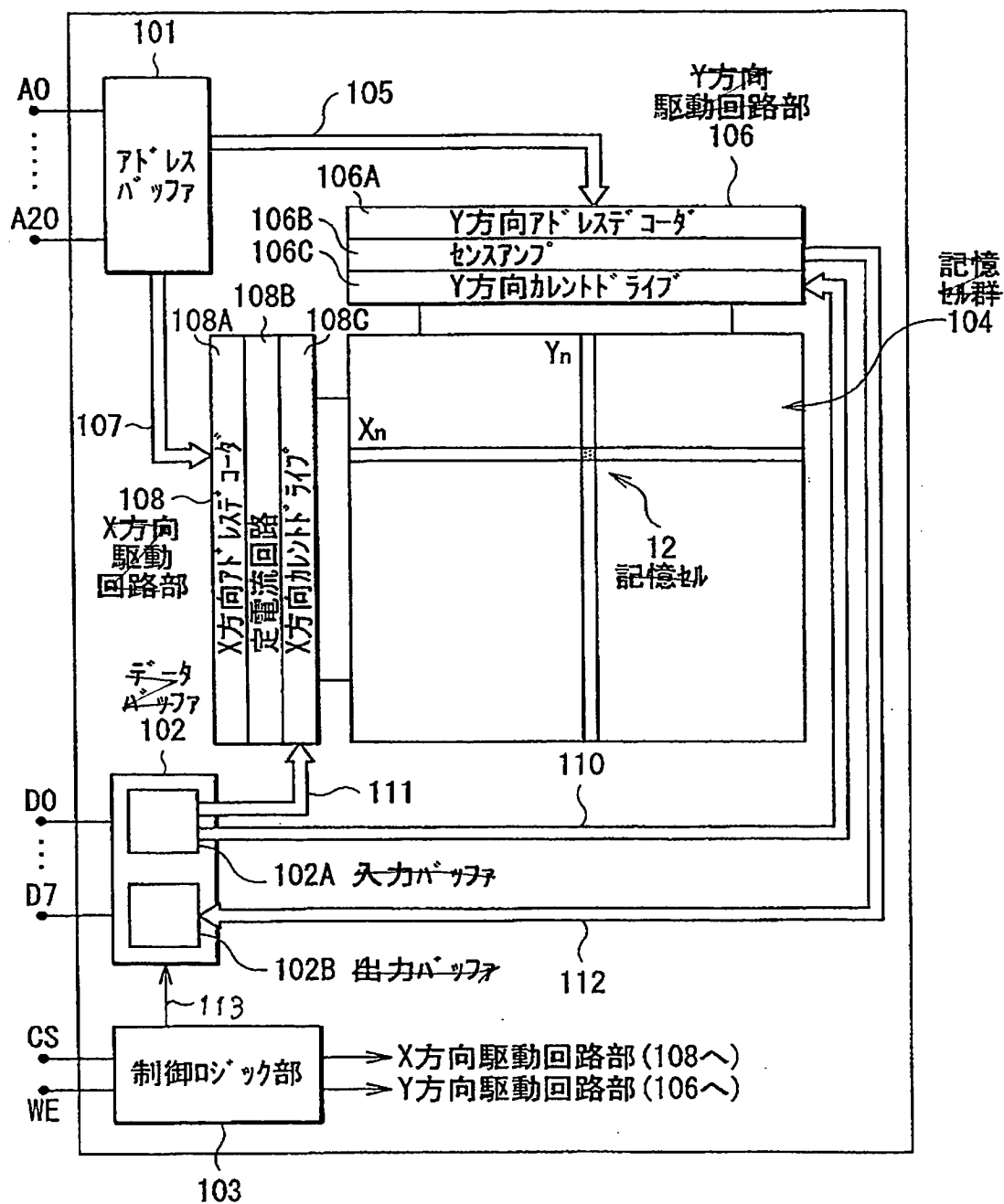
	[FIG. 1]	
	101	ADDRESS BUFFER
	102	DATA BUFFER
	102A	INPUT BUFFER
5	102B	OUTPUT BUFFER
	103	CONTROL LOGIC PORTION
		X-DIRECTION DRIVE CIRCUIT PORTION (TO 108)
		Y-DIRECTION DRIVE CIRCUIT PORTION (TO 106)
	104	MEMORY CELL GROUP
10	12	MEMORY CELL
	106	Y-DIRECTION DRIVE CIRCUIT PORTION
	106A	Y-DIRECTION ADDRESS DECODER
	106B	SENSE AMPLIFIER
	106C	Y-DIRECTION CURRENT DRIVE
15	108	X-DIRECTION DRIVE CIRCUIT PORTION
	108A	X-DIRECTION ADDRESS DECODER
	108B	CONSTANT CURRENT CIRCUIT
	108C	X-DIRECTION CURRENT DRIVE
	[FIG. 2]	
20	80n+1	BIT-DIRECTION UNIT READING CIRCUIT
	102B	OUTPUT BUFFER
	[FIG. 3]	
	102B	OUTPUT BUFFER
	[FIG. 8]	
25	6a	WRITE BIT LINE
	6b	WRITE WORD LINE
	[FIG. 20]	
		SENSING CURRENT VALUE (SELECTED SCALE)
		BIT DECODE VOLTAGE (STANDARDIZED VALUE)
30	[FIG. 21]	
		SENSING CURRENT VALUE (SELECTED SCALE)
		BIT DECODE VOLTAGE (STANDARDIZED VALUE)
	[FIG. 22]	
		VOLTAGE AT SENSING POINT
35		RESISTANCE OF MAGNETORESISTANCE ELEMENT: $R_{TMR1}$ ( $\Omega$ )
	[FIG. 24]	
		VOLTAGE AT SENSING POINT
		VARIATION OF MR RATIO IN MAGNETORESISTANCE ELEMENT

【書類名】 図面

【図 1】

Fig. 1

OBLON, SPIVAK, ET AL  
DOCKET #: 243211US2  
INV: Joichiro EZAKI, et al.  
SHEET 1 OF 19



【図 2】

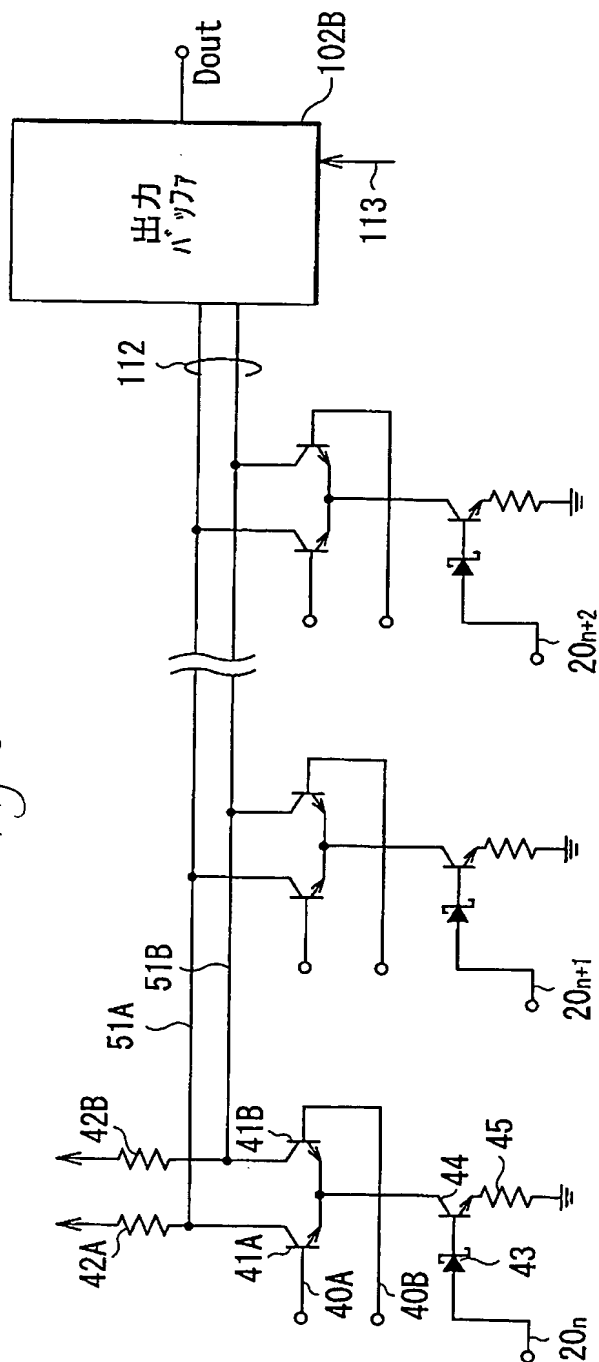
**OBLON, SPIVAK, ET AL**  
**DOCKET #: 243211US2**  
**INV: Joichiro EZAKI, et al.**  
**SHEET 2 OF 19**



【図 3】

OBLON, SPIVAK, ET AL  
DOCKET #: 243211US2  
INV: Joichiro EZAKI, et al.  
SHEET 3 OF 19

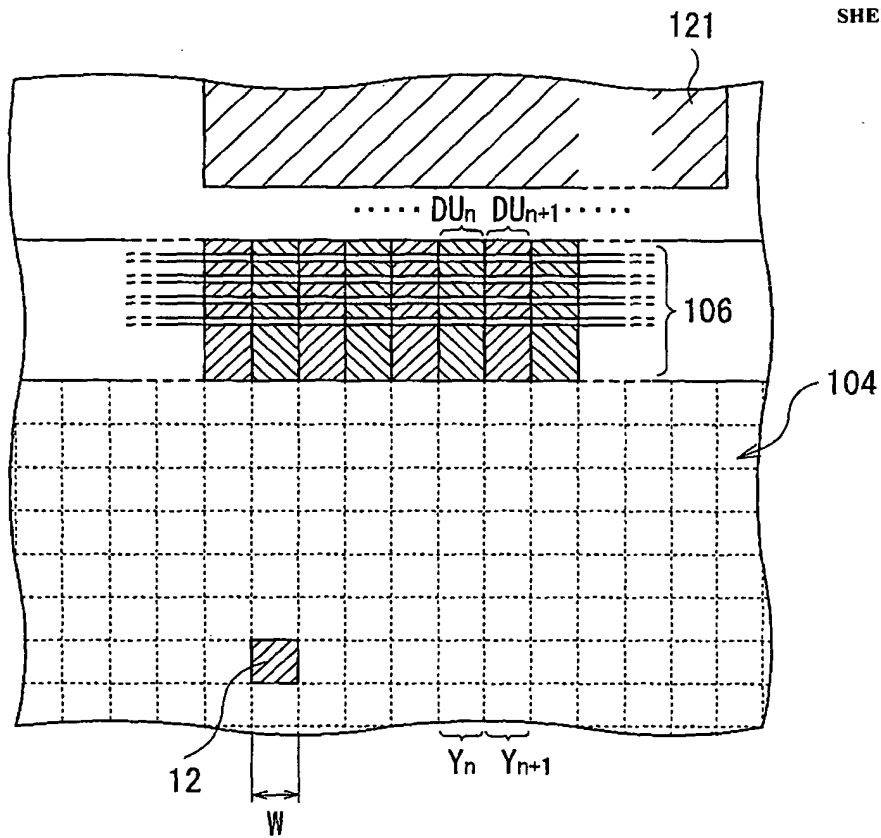
Fig. 3



【図4】

Fig. 4

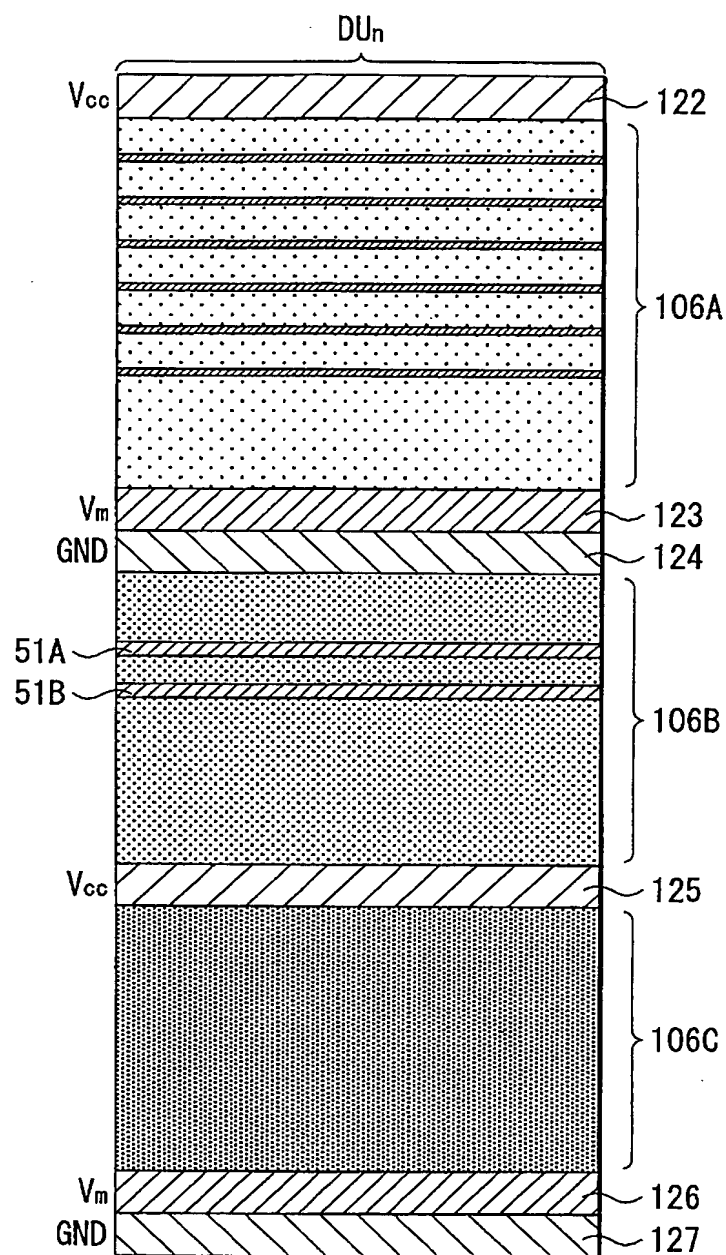
OBLON, SPIVAK, ET AL  
DOCKET #: 243211US2  
INV: Joichiro EZAKI, et al.  
SHEET 4 OF 19



【図 5】

Fig. 5

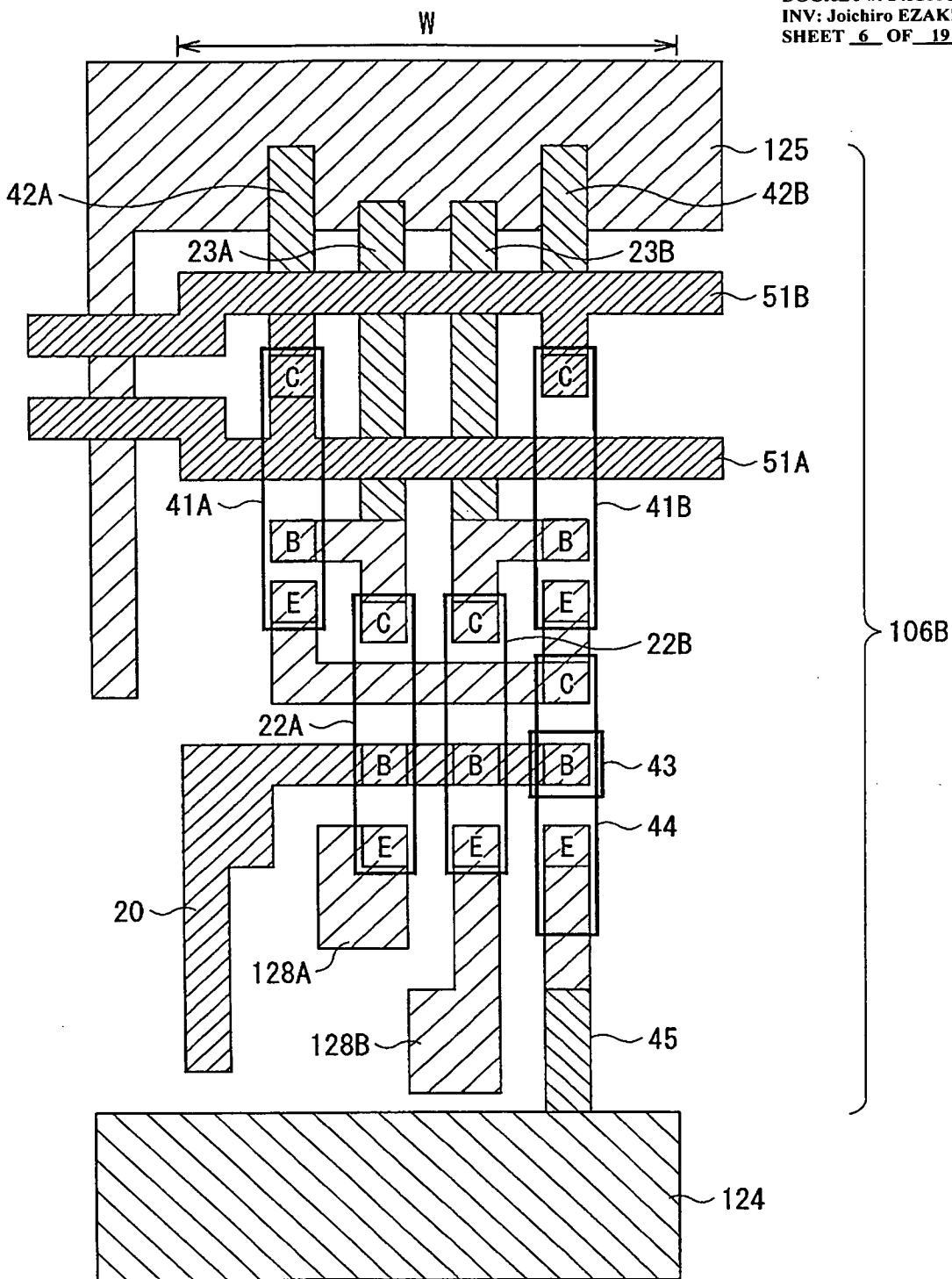
OBLON, SPIVAK, ET AL  
DOCKET #: 243211US2  
INV: Joichiro EZAKI, et al.  
SHEET 5 OF 19



【図 6】

Fig. 6

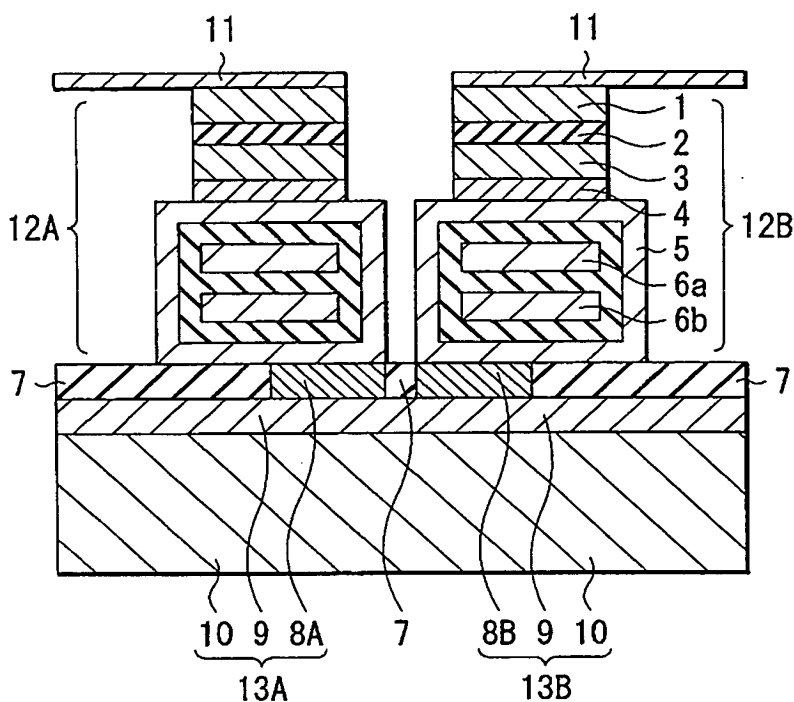
OBLON, SPIVAK, ET AL  
DOCKET #: 243211US2  
INV: Joichiro EZAKI, et al.  
SHEET 6 OF 19



【図 7】

Fig. 7

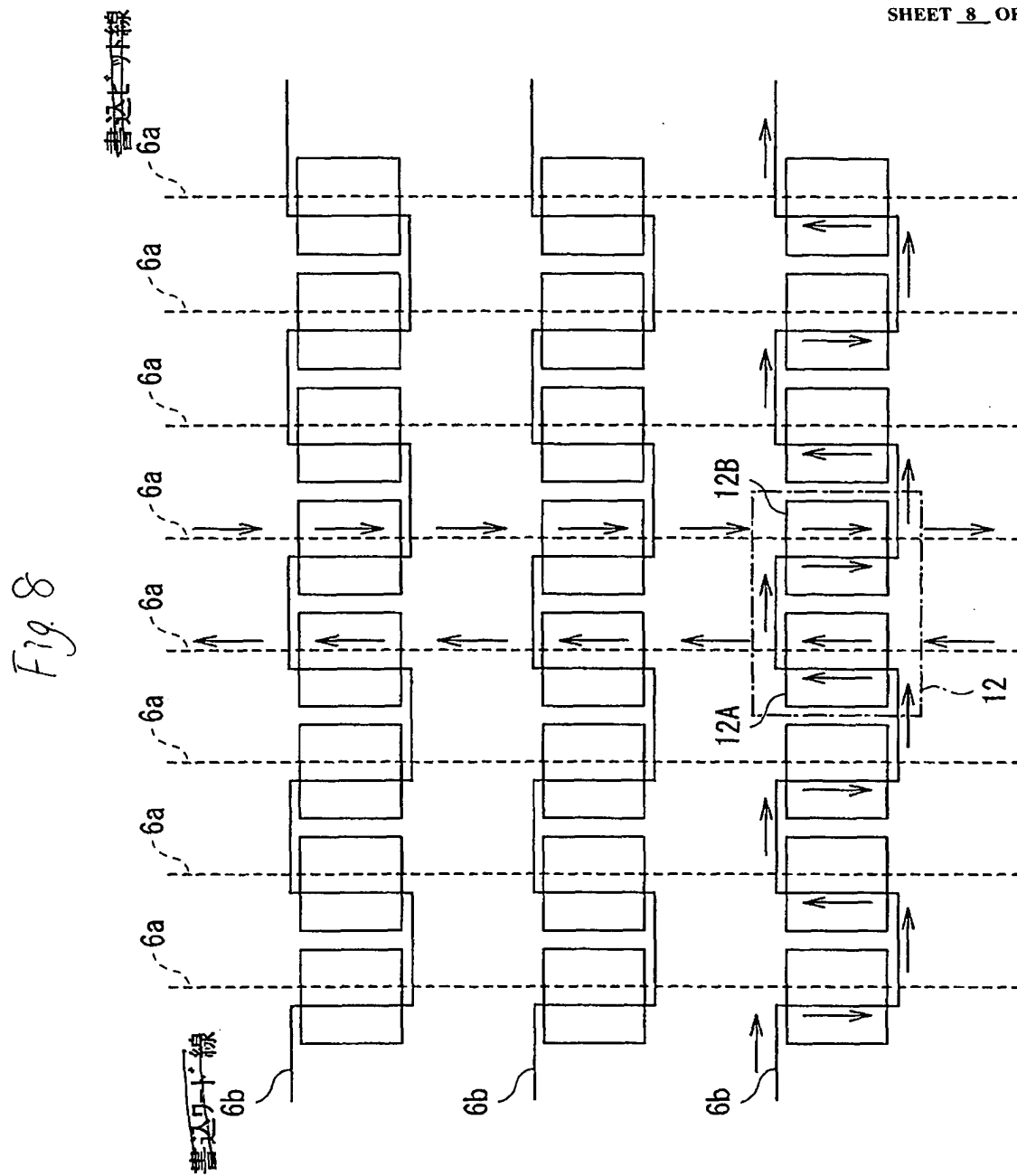
OBLON, SPIVAK, ET AL  
DOCKET #: 243211US2  
INV: Joichiro EZAKI, et al.  
SHEET 7 OF 19



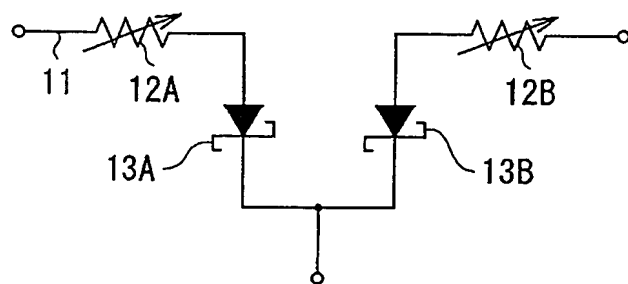


【図 8】

OBLON, SPIVAK, ET AL  
DOCKET #: 243211US2  
INV: Joichiro EZAKI, et al.  
SHEET 8 OF 19



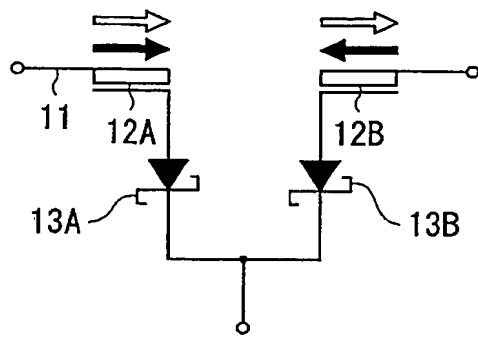
【図 9】



OBLON, SPIVAK, ET AL  
DOCKET #: 243211US2  
INV: Joichiro EZAKI, et al.  
SHEET 9 OF 19

【図 10】

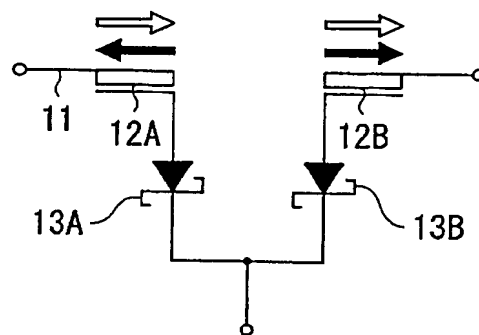
Fig. 10A



「0」

(A)

Fig. 10B



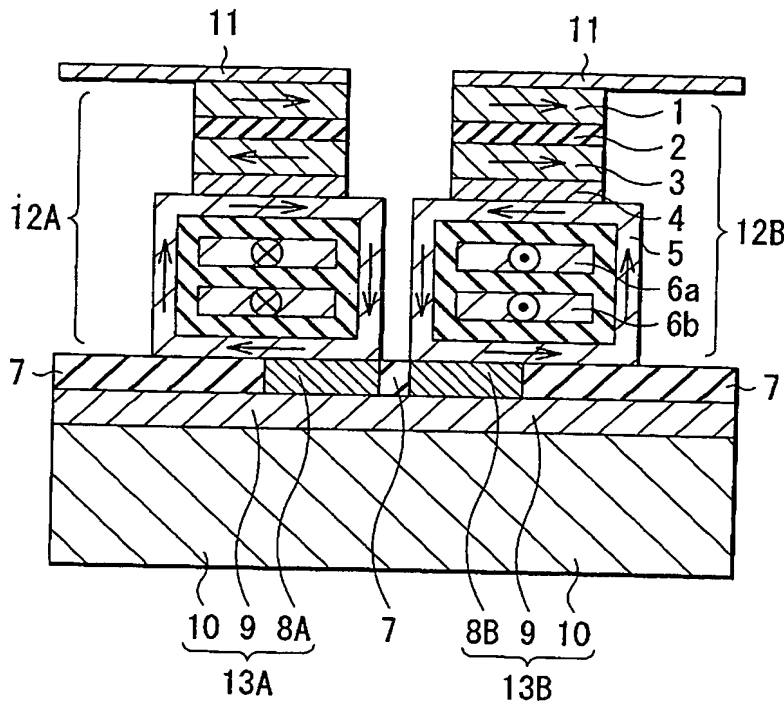
「1」

(B)

【図 1 1】

Fig. 11

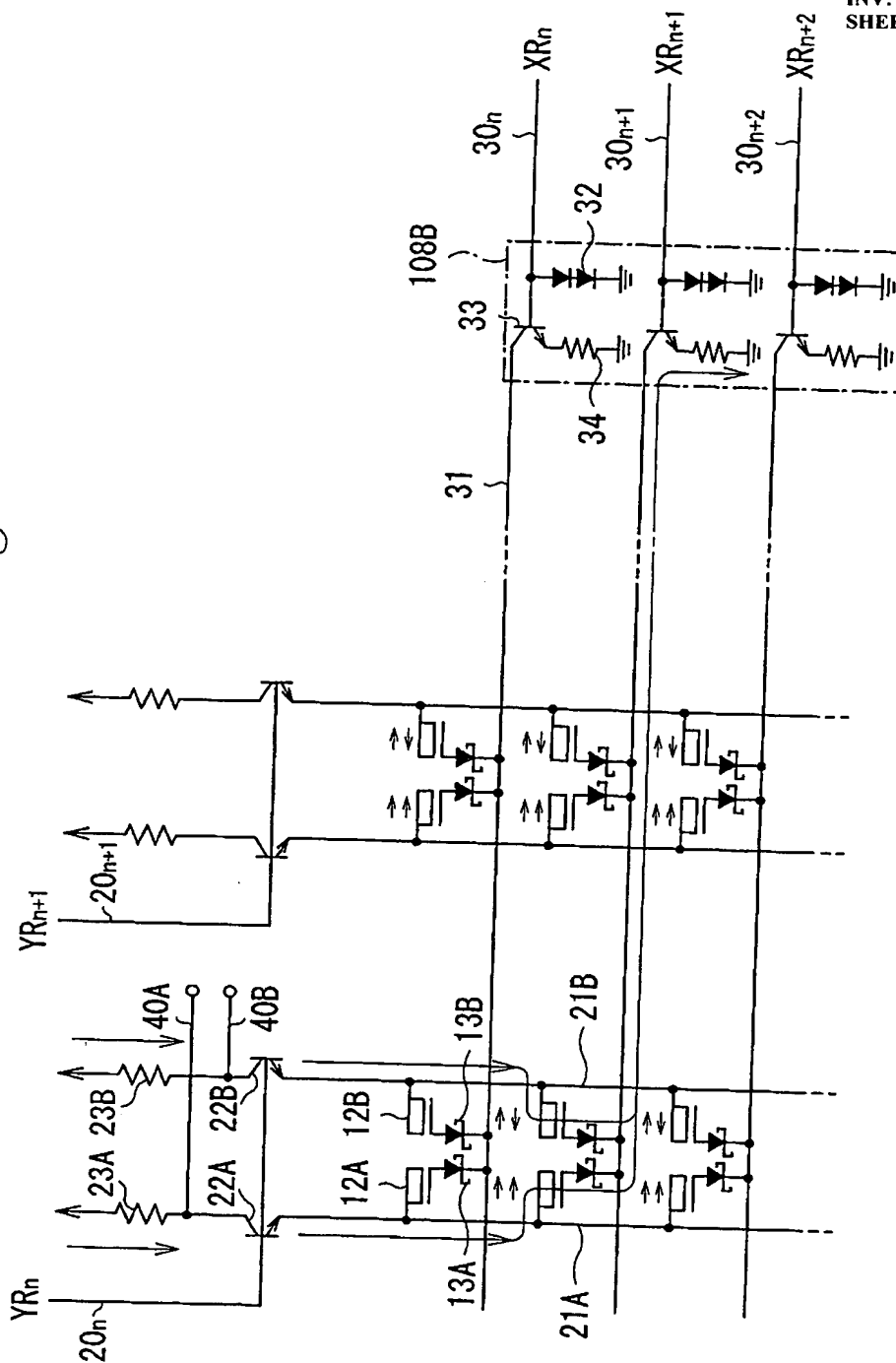
OBLON, SPIVAK, ET AL  
DOCKET #: 243211US2  
INV: Joichiro EZAKI, et al.  
SHEET 10 OF 19



【図 1 2】

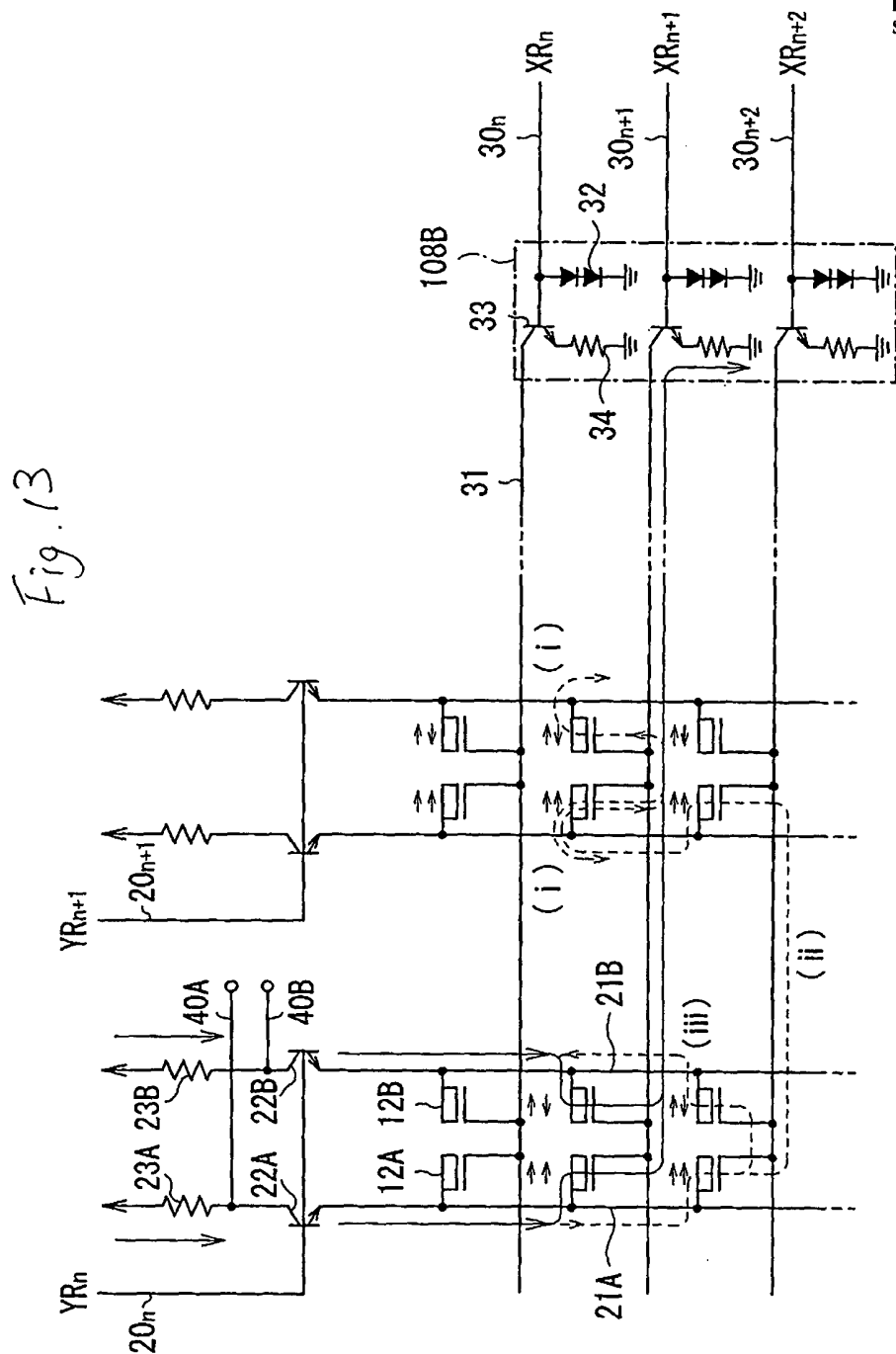
OBLON, SPIVAK, ET AL  
DOCKET #: 243211US2  
INV: Joichiro EZAKI, et al.  
SHEET 11 OF 19

Fig. 12



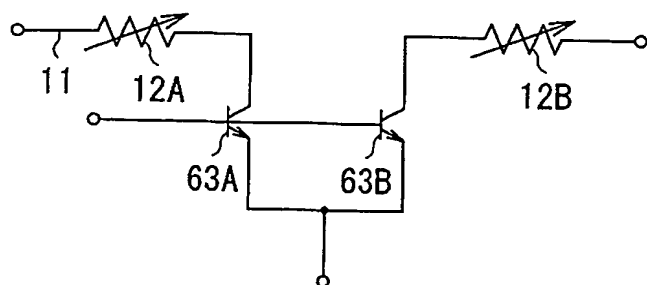
【図 1 3】

OBLON, SPIVAK, ET AL  
DOCKET #: 243211US2  
INV: Joichiro EZAKI, et al.  
SHEET 12 OF 19



【図 1 4】

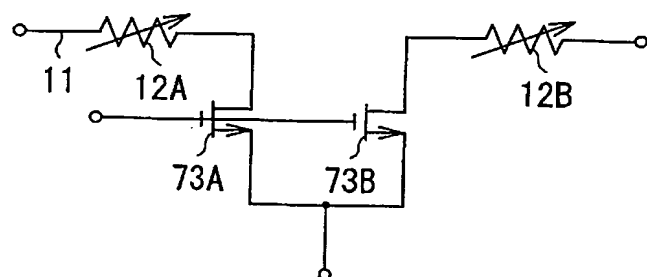
Fig. 14



OBLON, SPIVAK, ET AL  
DOCKET #: 243211US2  
INV: Joichiro EZAKI, et al.  
SHEET 13 OF 19

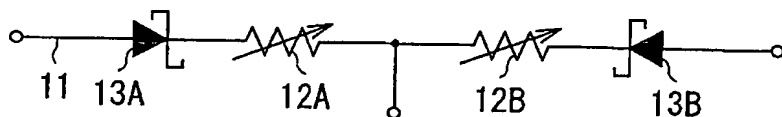
【図 1 5】

Fig. 15



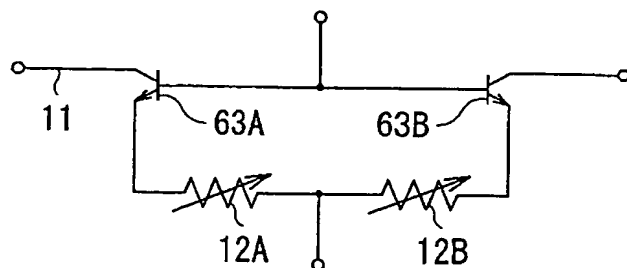
【図 1 6】

Fig. 16



【図 1 7】

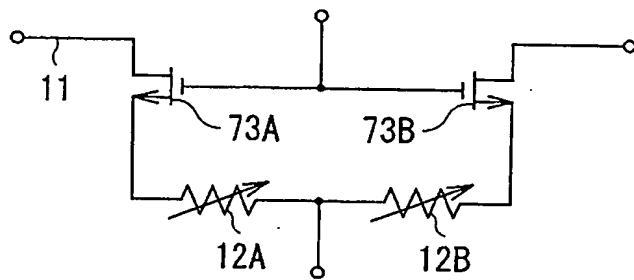
Fig. 17



【図 18】

Fig. 18

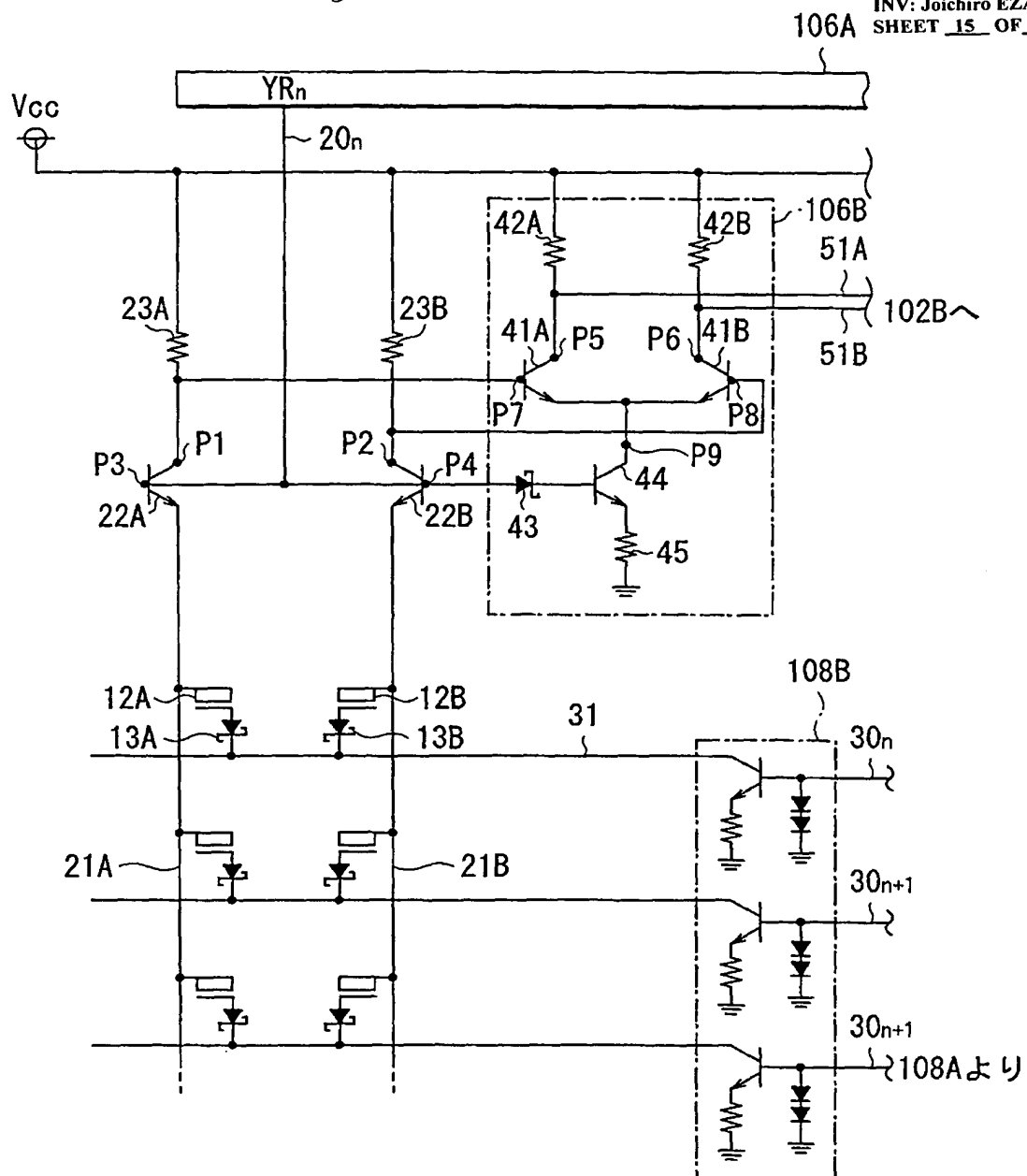
OBLON, SPIVAK, ET AL  
DOCKET #: 243211US2  
INV: Joichiro EZAKI, et al.  
SHEET 14 OF 19



【図 19】

Fig. 19

OBLON, SPIVAK, ET AL  
DOCKET #: 243211US2  
INV: Joichiro EZAKI, et al.  
SHEET 15 OF 19

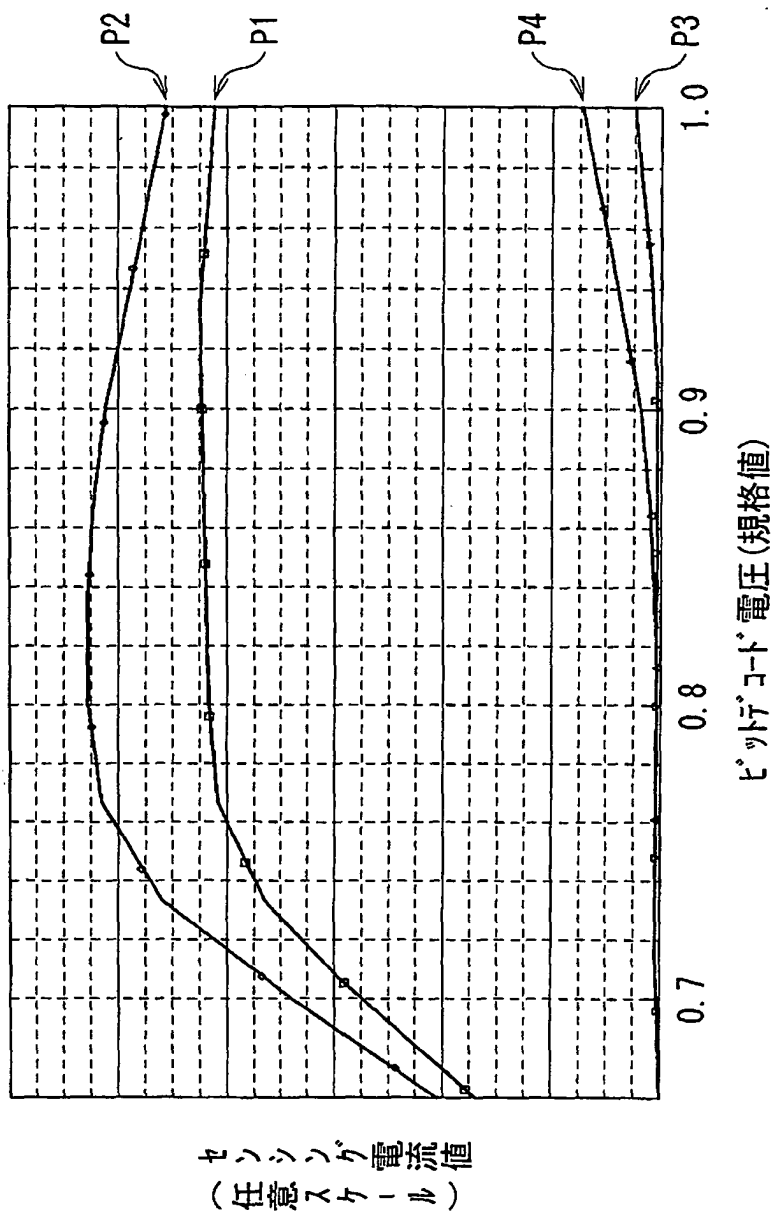




【図20】

OBLON, SPIVAK, ET AL  
DOCKET #: 243211US2  
INV: Joichiro EZAKI, et al.  
SHEET 16 OF 19

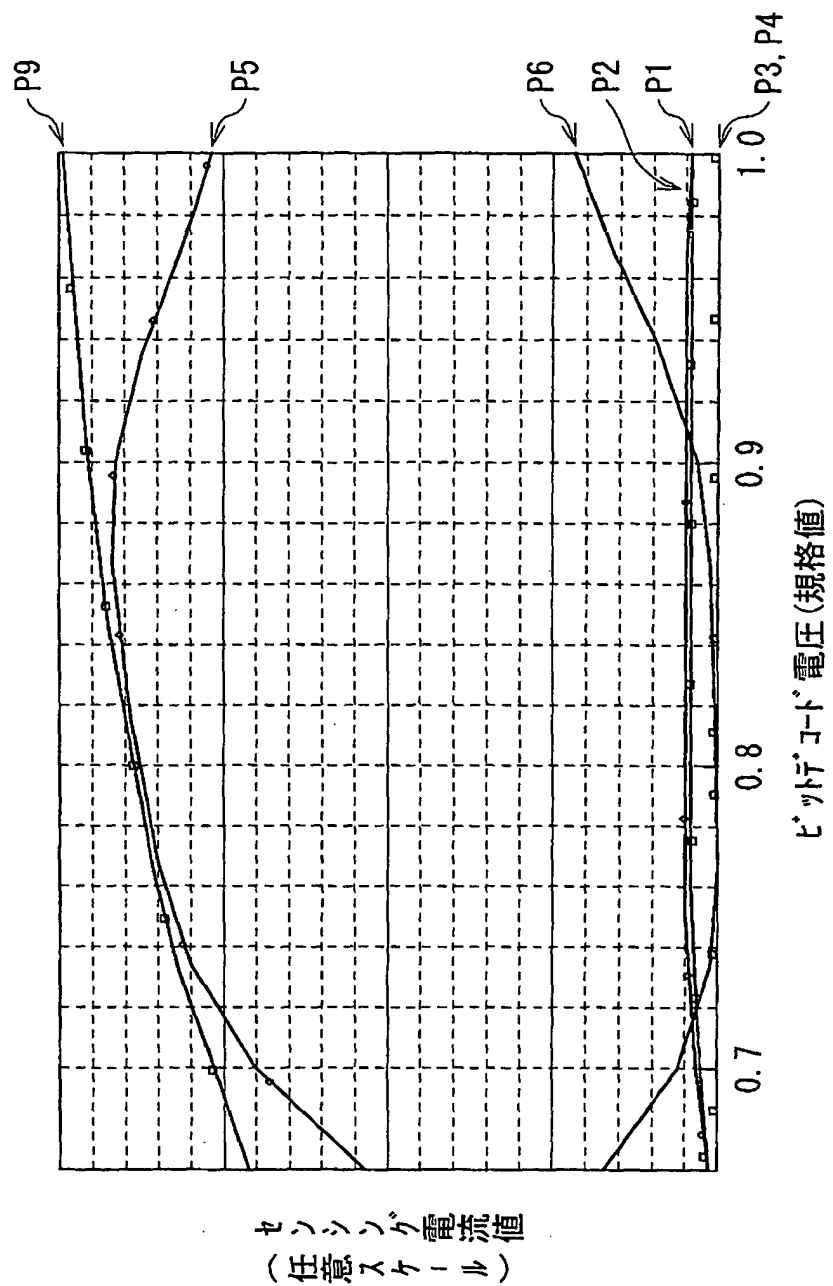
Fig. 20



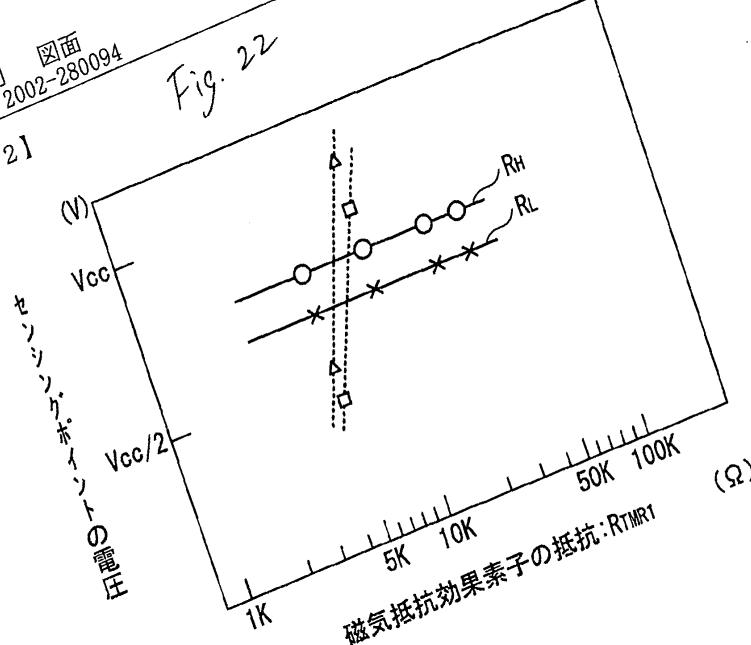
【図 21】

OBLON, SPIVAK, ET AL  
DOCKET #: 243211US2  
INV: Joichiro EZAKI, et al.  
SHEET 17 OF 19

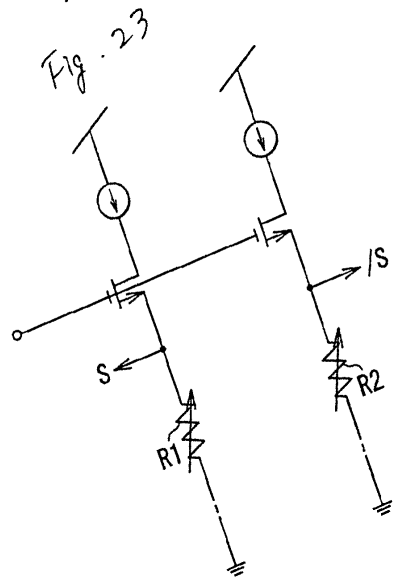
Fig. 21



【図22】



【図23】



【図 2 4】

Fig. 24

OBLON, SPIVAK, ET AL  
DOCKET #: 243211US2  
INV: Joichiro EZAKI, et al.  
SHEET 19 OF 19

